

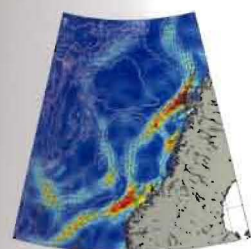


Стр. 5



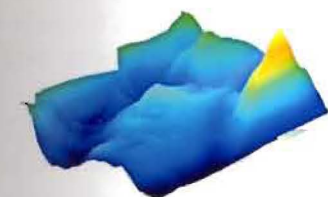
АНПА «МТ-2017»

Стр. 19



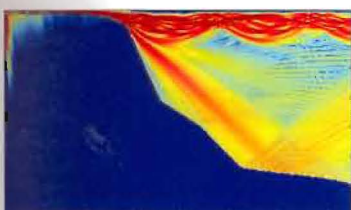
Кабель в зоне течения

Стр. 25



3D-изображение фрагмента ГФП

Стр. 52



Структура звукового поля

## СИСТЕМЫ, ТЕХНОЛОГИИ И ЭКСПЕРИМЕНТЫ

- 4 **Костенко В.В., Толстоногов А.Ю.**  
Управление глубиной погружения необитаемого подводного аппарата, оснащенного системой регулирования плавучести
- 12 **Керестень И.А., Михайлов А.А., Войнов И.Б., Боровков А.И.**  
Численное моделирование укладки растяжимого кабеля на дно моря с движущегося судна с учетом гидродинамических сил сопротивления воды

## МОДЕЛИ, АЛГОРИТМЫ И ПРОГРАММНЫЕ СРЕДСТВА

- 21 **Киселев Л.В., Костоусов В.Б., Медведев А.В., Тарханов А.Е.**  
О гравиметрии с борта автономного подводного робота и оценках ее информативности для навигации по карте
- 31 **Коноплин А.Ю., Коноплин Н.Ю., Шувалов Б.В.**  
Подход к выполнению АНПА технологических манипуляционных операций с различными подводными объектами

## СРЕДСТВА И МЕТОДЫ ПОДВОДНЫХ ИССЛЕДОВАНИЙ

- 38 **Касаткин Б.А., Касаткин С.Б.**  
Экспериментальная оценка помехоустойчивости комбинированного приёмника в инфразвуковом диапазоне частот
- 48 **Моргунов Ю.Н., Каменев С.И., Безответных В.В., Петров П.С.**  
Исследование возможности позиционирования автономных подводных аппаратов при выполнении ими глубоководных миссий
- 55 **Селезнев И.А., Глебова Г.М., Жбанков Г.А., Харахашьян А.М.**  
Экспериментальное исследование характеристик векторно-скалярного поля структурной помехи
- 62 **Будрин С.С., Долгих Г.И.**  
Расчёт основных характеристик морских поверхностных гравитационных и ветровых волн с помощью общей функции изменения периода
- 68 **Рефераты**